

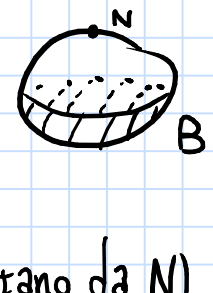
Dim. (del lemma di Poincaré):  $w \in \Omega_c^k(\mathbb{R}^n) \rightsquigarrow \Omega_c^k(S^n)$ ,

$\text{supp } w \subseteq B$ ,  $\exists \eta \in \Omega^{k-1}(S^n)$  con  $w = d\eta$ ;  $d\eta = 0$  su

$$B' = S^n \setminus \bar{B} \Rightarrow \exists \alpha \in \Omega^{k-2}(B') \text{ t.c. } d\alpha = \eta.$$

$$\eta' = \eta - d(p\alpha) \Rightarrow d\eta' = d\eta = w, \text{ supp } \eta' \text{ è cpt (è lontano da } N).$$

bump function in  $B'$   
che è cpt in un intorno  
di  $N$



### Formula di Künneth

$M, N$  var.,  $\pi_M : M \times N \rightarrow M, \pi_N : M \times N \rightarrow N$ ,

$$\Omega^k(M) \times \Omega^l(N) \rightarrow \Omega^{k+l}(M \times N) \text{ induce}$$

$$(w, \eta) \mapsto \pi_M^* w \wedge \pi_N^* \eta$$

$$H^k(M) \times H^l(N) \rightarrow H^{k+l}(M \times N) \text{ bilineare;}$$

$$\bigoplus_{k=0}^l H^k(M) \otimes H^{l-k}(N) \xrightarrow{\sim} H^l(M \times N)$$

Teo.:  $\bigoplus_{k=0}^l H^k(M) \otimes H^{l-k}(N) \xrightarrow{\sim} H^l(M \times N)$  è isomorfismo se  $\ell^i(M) < +\infty \forall i$  e  $\ell^i(N) < +\infty \forall i$ .

Dim.: no, ma si fa come la dualità di Poincaré.  $\square$

Cor.:  $\sum_{k=0}^l \ell^k(M) \ell^{l-k}(N) = \ell^l(M \times N)$ .

Cor./Ex.:  $\ell^l(\underbrace{S^1 \times \dots \times S^1}_m) = \binom{m}{l}$ . Teo.:  $H^l(M) \cong \text{Hom}(\pi_1 M, \mathbb{R})$ .

### Varietà (pseudo-)riemanniane

$(M, g) \rightsquigarrow L(\gamma) \xrightarrow[w \text{ forma volume} \atop (\text{se } M \text{ ori.})]{} \text{In carte: } g = g_{ij} dx^i \otimes dx^j \xrightarrow{\text{Prop.}} w = \sqrt{|\det g_{ij}|} dx^1 \wedge \dots \wedge dx^m$

Dim. (della prop.):  $p \in \mathbb{R}^n$ ,  $g_{ij}(p)$  simmetrica. A meno di ruotare gli assi,  $g_{ij}(p) = \begin{pmatrix} \lambda_1 & & \\ & \ddots & \\ & & \lambda_m \end{pmatrix}$ ;  $\sqrt{|\det g_{ij}|} = \sqrt{|\lambda_1| \dots |\lambda_m|}$ .  $\square$

### Modifiche conformi

E.s.:  $\mathbb{R}^{n+1} = (\mathbb{R}^n, g = \begin{pmatrix} -1 & 0 \\ 0 & I_p \end{pmatrix})$  ( $\mathbb{R}^n = \mathbb{R}^{n,0}$ ).

Def.:  $(M, g), f \in C^\infty(M)$  mai nulla,  $\bar{g} = fg$ . Se  $f > 0$ ,  $\bar{g}$  ha la stessa

segnatura di  $g$ . Se  $f < 0$ ,  $\bar{g}$  ha segnatura opposta a  $g$ .

Se  $g$  è def. positivo, sono definiti  $\forall v, w \in T_p M$   $\|v\|, \|w\|$  e l'angolo fra  $v$  e  $w$   $\arccos \frac{\langle v, w \rangle}{\|v\| \|w\|}$ .

Moltiplicando per  $f$ , gli angoli non cambiano, tutto il resto sì.

Def.: lo SPAZIO IPERBOLICO è  $(B^n, g)$ ,  $B^n \subseteq \mathbb{R}^n$ ,  $g = \left(\frac{2}{1-\|x\|^2}\right)^2 g^E$ .

Questo è 1) il MODELLO DEL DISCO.

2)  $H^n = \{x \in \mathbb{R}^n \mid x_n > 0\}$  half-space,  $g = \frac{1}{x_n^2} g^E$ .

3) Iperboloide.

Def.:  $(M, g)$  var. pseudo-r.. Una sottovarietà  $N \subseteq M$  è detta

SOTTOVARIETÀ PSEUDO-R. se  $\forall p \in N$   $T_p N \subseteq T_p M$  è

non degenere, cioè  $g|_{T_p N}$  è non degenere.

Oss.:  $N$  eredita  $g|_N$  struttura pseudo-r..

Oss.: se  $(M, g)$  è riemanniana, la condizione è vuota e  $N$  è anch'essa

riemanniana.

Iperboloide:  $\mathbb{R}^{n+1}$  Minkowski,  $\langle x, y \rangle = -x_1 y_1 + x_2 y_2 + \dots + x_{n+1} y_{n+1}$ .

Prop.:  $I^n = \{x \in \mathbb{R}^{n+1} \mid \langle x, x \rangle = -1\} \cap \{x_n > 0\}$  è sottovarietà riemanniana.

Ex.: 1)  $\mathbb{R}^{n+1} \xrightarrow{x \mapsto \langle x, x \rangle}, -1$  è val. reg.;

2)  $\forall x \in I^n, T_x I^n = x^\perp$ .  $x$  tempo  $\Rightarrow x^\perp$  spazio.

Teo.: i tre modelli sono isometrici.

Inversione lungo sfere:  $S \subseteq \mathbb{R}^n$ ,  $S = S(x_0, r) = \{x \mid d(x, x_0) = r\}, r > 0$ .

i:  $\mathbb{R}^n \setminus \{x_0\} \xrightarrow{\text{inversione circolare}}$ ;

i:  $S^n \rightarrow S^n$ ,  $S^n = \mathbb{R}^n \cup \{\infty\}$ ,  $x_0 \mapsto \infty, \infty \mapsto x_0$ .

Def.:  $\varphi: M \rightarrow N$  è diffeo. fra var. riemanniane è CONFORME se

$\forall p \in M$   $d\varphi_p: T_p M \rightarrow T_{\varphi(p)} N$  è isometria composta a un

riscalamento per un certo  $f(p) > 0$ ,  $f \in C^\infty(M)$ .

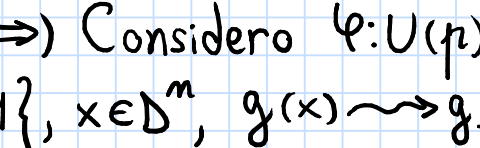
Oss.:  $(M, g) \rightsquigarrow f g = \bar{g}$ ,  $\text{id}_M: (M, g) \rightarrow (M, \bar{g})$  è conforme.

Oss.: ogni biol. fra aperti di  $\mathbb{C}$  è conforme.

Ex.: la proiezione stereografica è conforme.

Anche le inversioni lo sono.

Dim. (del teo.): 1)  $\Leftrightarrow$  2)



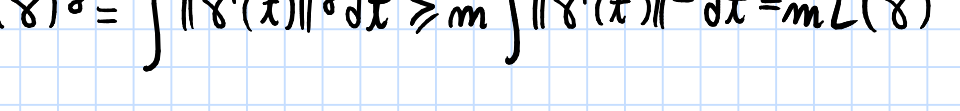
$$P = (-1, 0, \dots, 0),$$

i inversione  $S(P, \sqrt{2})$ .

Si verifica che i è un'isometria

tra i due modelli.

$$1) \Leftrightarrow 3)$$



□

Alcune isometrie di  $\mathbb{R}^n, S^n, H^n$ .

Prop.: le seguenti sono isometrie di  $\mathbb{R}^n, S^n, H^n = I^n$ :

1)  $f(x) = Ax + b$ ,  $A \in O(n)$ ,  $b \in \mathbb{R}^n$  ( $\mathbb{R}^n$ );

2)  $f(x) = Ax$ ,  $A \in O(n+1)$  ( $S^n$ );

3)  $f(x) = Ax$ ,  $A \in O^+(n, 1) \subset O(n, 1)$  ( $I^n$ ).

$\{A \in O(n, 1) \mid A_{11} > 0\} \xrightarrow{\text{conserva le cc}}$

Dim.: 1) ok, 2) come 3) ma lo vediamo. 3): ex..  $\square$

Def.: un FRAME su  $(M, g)$  riemanniana è una base ortonormale in  $T_p M$  per un certo  $p \in M$ .

Oss.: le isometrie  $M \rightarrow M$  agiscono sui frame.

Teo.: se  $M$  è connessa, l'azione è libera, cioè  $f: M \rightarrow M$  t.c.  $f(x) = x$  e

$$df_x = id \Rightarrow f \text{ id}_M$$

Ex.: le isometrie della prop. agiscono in modo transitivo sui frame.

Cor.:  $\text{Isom}(\mathbb{R}^n), \text{Isom}(S^n), \text{Isom}(H^n)$  sono quelli della prop..

Dim.: se ci fosse un'altra  $f$ , troverei  $\bar{f} \in \text{Isom}(\cdot)$  t.c.  $f = \bar{f}$  al primo ordine in un pto  $x \Rightarrow \bar{f} \circ f^{-1}$  fissa un frame  $\Rightarrow$  è id.  $\square$

Ogni varietà riemanniana è spazio metrico (liscia).

$(M, g)$  riemanniana,  $\gamma \rightsquigarrow L(\gamma)$ .

$$\gamma: [a, b] \rightarrow M \text{ t.c. } \gamma(a) = p, \gamma(b) = q$$

Def.:  $p, q \in M$  conn.,  $d(p, q) := \inf \{L(\gamma) : \gamma \text{ collega } p \text{ e } q\}$ .

Prop.:  $d$  è una distanza.

Dim.: 1)  $d(p, q) = 0 \Leftrightarrow p = q$ . 3)  $d(p, r) \leq d(p, q) + d(q, r)$ .

2)  $d(p, q) = d(q, p)$  ovvia.

3):  $\gamma: a \rightarrow q$ ,  $\alpha * \beta$ , riscallo  $\alpha$  e  $\beta$  per fermarmi in  $q$ .

$$\gamma: a \rightarrow q \quad \alpha * \beta \quad \gamma: a \rightarrow q$$

1): ( $\Leftarrow$ ) ovvio. ( $\Rightarrow$ ) Considero  $\varphi: U(p) \rightarrow \mathbb{R}^n$  t.c.  $q \notin U(p)$ .

$$D^n = \{x \mid \|x\| \leq 1\}, x \in D^n, g(x) \rightsquigarrow g^E(x) \rightsquigarrow \delta_{ij}$$

$$v \in \mathbb{R}^n = T_p \mathbb{R}^n, \exists M(x) > m(x) > 0 \text{ t.c. } \|v\|_M^E \leq \|v\|_m^E \leq M(x) \|v\|_m^E$$

$$D^n \text{ cpt} \Rightarrow \|v\|_m^E \geq \|v\|_M^E \cdot m, m > 0. \gamma \text{ da } p \text{ a } q, \exists \text{ "sottocurva"}$$

$\bar{\gamma}$  da  $p$  a  $q$  un punto di  $\partial D^n$ ,

$$L(\gamma)^E \geq L(\bar{\gamma})^E = \int \| \bar{\gamma}'(t) \|_m^E dt \geq m \int \| \bar{\gamma}'(t) \|_M^E dt = m L(\bar{\gamma})^E \geq m. \square$$